

[文章编号] 1007- 3949(2000)- 03- 0189- 04

•实验研究•

# 中国人极低密度脂蛋白受体基因的克隆及其在中国仓鼠卵巢细胞中的表达

屈伸, 王剑波, 刘志国, 邓耀祖, 冯宗忱

(同济医科大学生物化学教研室, 湖北省武汉市 430030)

[主题词] 脂蛋白, 低密度; 基因; 中国仓鼠卵巢细胞; 动脉粥样硬化

[摘要] 为了研究极低密度脂蛋白受体结构与功能的关系, 本文利用反转录聚合酶链反应技术从中国人心肌组织中克隆出极低密度脂蛋白受体的全长 cDNA 后, 将其插入真核表达载体 pcDNA3 获得重组体 pCD- VR。测序结果显示, 这一源于中国人的极低密度脂蛋白受体基因 cDNA 的碱基序列与文献报道基本相符。反转录聚合酶链反应检测证实, 转染 pCD- VR 的中国仓鼠卵巢细胞可有效表达极低密度脂蛋白受体 mRNA。脂蛋白结合实验结果发现, 转染的中国仓鼠卵巢细胞结合极低密度脂蛋白的能力明显增高。

[中图分类号] Q78

[文献标识码] A

## The Cloning and Expression on Chinese Hamster Ovary Cells of Chinese Very Low Density Lipoprotein Receptor Gene

QU Shen, WANG Jian- Bo, LIU Zhi- Guo, DENG Yao- Zu, and FENG Zong- Chen

(Department of Biochemistry, Tongji Medical University, Wuhan 430030, China)

MeSH Lipoprotein, LDL; Genes; CHO Cells; Atherosclerosis

**ABSTRACT Aim** To study the relationship of very low density lipoprotein receptor (VLDLR) structure and its function.**Methods** The present paper reported the cloning of VLDLR gene cDNA from a chinese heart tissue by RT- PCR technology.

A recombinant named pCD- VR was constructed in which the VLDLR cDNA was inserted a vector pcDNA3. **Results** Sequencing result confirmed that the chinese oriented VLDLR gene cDNA was in line with previously one. Then, the pCD- VR was transfected into CHO cells. Lipoprotein combination test and mRNA detection confirmed that this human VLDLR gene could express effectively in the CHO cells. **Conclusion** It was provided a new idea about the roles of VLDLR in atherosclerosis.

极低密度脂蛋白受体 (very low density lipoprotein receptor, VLDLR) 属低密度脂蛋白受体 (low density lipoprotein receptor, LDLR) 家族<sup>[1]</sup>, 由 846 个氨基酸组成, 其蛋白质结构与 LDLR 非常相似, 不同之处在于 LDLR 的配体结合域有 7 个重复序列, 而 VLDLR 有 8 个重复序列, 相应地其基因结构比 LDLR 多一个外显子。在功能上, LDLR 主要与含有载脂蛋白 B100 和载脂蛋白 E 的脂蛋白结合; 而 VLDLR 主要与富含载脂蛋白 E 的脂蛋白结合。LDLR 活性受胆固醇下调, 而 VLDLR 活性不受胆固醇下调。由此看来, VLDLR 与 LDLR 在功能和调控方面的差异与受体结合域的结构差异存在必然联系。本文进行了中国人 VLDLR 基因的克隆、序列分析及在中国仓鼠卵巢

(chinese hamster ovary, CHO) 细胞中表达的检测, 探讨 VLDLR 结合域中 8 个重复序列在执行结合脂蛋白功能中的作用及中国人较易罹患高甘油三酯血症的机理。

## 1 材料与方法

### 1.1 组织与细胞

心肌组织从施行心脏手术患者近心耳处采集。CHO- K<sub>1</sub> 细胞株购自武汉大学中国典型培养物保藏中心。

### 1.2 试剂与仪器

Dil(Molecular probes, USA), F12 培养基与胎牛血清(Gibco, USA), Lipofectin(Gibco, USA), Expend<sup>TM</sup> 长模板 DNA 聚合酶(BEHRINGER MANNHEIM 公司), PCR 引物由 GIBCO BRL 公司合成。SuperScript<sup>TM</sup> Preamplification System 购自 GIBCO BRL 公司, 限制性

[基金项目] 国家自然科学基金资助项目(项目编号 39670162)

[作者简介] 屈伸, 男, 1954 年 8 月出生, 河南人, 教授, 副院长。现从事生物化学与分子生物学专业, 主要研究方向为基因诊断与基因治疗。

核酸内切酶及 T<sub>4</sub>DNA 连接酶购自 Bio-Lab 公司, Sephadex G-25 购自 Pharmacia。

### 1.3 总 RNA 提取

取少量心肌组织匀浆,用异硫氰酸胍一步法<sup>[2]</sup>提取细胞总 RNA,再通过紫外分光测定含量及纯度,甲醛凝胶变性电泳检测其完整性。

### 1.4 反转录反应

按 SuperScript<sup>TM</sup> Preamplification System 操作指南进行。取总 RNA 5 μg, Oligo(dT) 12~18 1 μL, 补 DE-PC 处理水至 12 μL, 混匀, 70 °C 10 min 后冰上冷却, 加入反应混合液(10×buffer 2 μL, 25 mmol/L MgCl<sub>2</sub> 2 μL, 10 mmol/L dNTPs 1 μL, 0.1 mmol/L DTT 2 μL) 混匀, 42 °C 预热 5 min, 加入 1 μL 反转录酶, 42 °C 反应 50 min, 70 °C 灭活反转录酶 15 min, -20 °C 保存。

### 1.5 扩增反应

根据 Yamamoto 等报道的人 VLDLR cDNA 序列设计了一对引物(P1、P2)。在 P1 5' 末端设计了一 Bam HI 酶切位点, P2 5' 末端设计了一 Xba I 酶切位点。P1(sense) 5' - GGGATCCCCATCCAGGCAGGCAC CATG- 3' (- 24~3), P2(antisense) (2 862~2 890) 5' - CGGATCCGCCAGAGGTGGCAATACTGTC- 3', P3 5' - ACTGGGACAGGAACAGGTAT- 3' (2 194~2 214)。PCR 反应总体积为 50 μL: 引物各 20 μmol, dNTPs 各 10 mmol, Mg<sup>2+</sup> 75 mmol, Expend<sup>TM</sup> 长模板 DNA 聚合酶 2.5 u, cDNA 模板 2 μL。反应条件为: 94 °C 4 min, 然后 94 °C 45 s, 55 °C 45 s, 68 °C 3 min, 循环 5 次, 更换循环条件为 94 °C 45 s, 62 °C 5 s, 68 °C 3 min, 循环 35 次, 最后 68 °C 延伸 10 min。

### 1.6 重组体的构建和鉴定

将扩增的 cDNA 片段经琼脂糖凝胶电泳后采用透析袋挡板法回收, 经酚、氯仿抽提, 无水乙醇沉淀<sup>[3]</sup>。载体 pcDNA3 与 RT-PCR 扩增的目的基因片段均用 Xba I 和 Bam HI 进行酶切, 电泳回收纯化后, 按摩尔比 1:3 连接(总 DNA 200 ng, 1 μL 10×T<sub>4</sub>DNA 连接酶缓冲液, 1 单位 T<sub>4</sub>DNA 连接酶, 加水至 10 μL, 15 °C 反应 16 h)。取连接液转化感受态细菌后, 在 LB 固体培养皿上取氨苄抗性菌落培养扩增, 用碱变性法制备重组质粒。重组质粒经 Bam HI、Nhe I、Hind III/Apa I 酶切电泳鉴定。重组质粒经氯化铯离心<sup>[4]</sup>纯化后测序。

### 1.7 细胞培养与基因转移

CHO-K<sub>1</sub> 细胞用含 10% 胎牛血清的 F12 在 37 °C、5% CO<sub>2</sub> 的条件下培养。基因转染用 Lipofectin 介导的方法进行。转染后 48 h 检测外源基因的表达。基因转染的 CHO 细胞用含 G418(800 mg/L) 的

F12 持续筛选至稳定表达 VLDLR 的 CHO 细胞。

### 1.8 极低密度脂蛋白受体表达

以反转录产物为模板, 以 P1、P3 为引物, 利用 Taq DNA 聚合酶进行 PCR 扩增, 同时进行 β-actin 基因扩增作为内参。循环条件为: 94 °C 变性 4 min, 94 °C 30 s, 55 °C 45 s, 72 °C 3 min, 循环 35 次, 最后 72 °C 延伸 10 min。

### 1.9 脂蛋白分离

取正常人空腹血 400 mL, 加入 EDTA-Na<sub>2</sub> 抗凝, 8 000 r/min 离心 15 min, 分离血浆。加入 PMSF 1 μmol/L、NaN<sub>3</sub> 1 mmol/L 及谷胱甘肽, 12 000 r/min 离心 30 min, 除去顶层乳糜微粒。加入 NaCl 将血浆密度调至 1.1 kg/L, 55 000 r/min 10 °C 离心 5 h 后, 吸取上层 VLDL 及 LDL 混合物。在 35.5 mL Beckman 离心管中, 由上到下依次加入 1.006 kg/L、1.063 kg/L 梯度液及 VLDL 和 LDL 混合物, 55 000 r/min 离心 3 h, 分离 VLDL 及 LDL<sup>[5]</sup>。

### 1.10 脂蛋白的 DiI 标记

分离的 VLDL 用 PBS 透析 12 h, 取出后用无菌的 PBS 将蛋白浓度稀释至 1 g/L。同样用无菌的 PBS 调节去脂血清至其蛋白浓度为 4 g/L。调好后的脂蛋白溶液与去脂血清溶液按 1:4 体积比混合后, 加 DiI 储液, 比例为 150 μg DiI: 1 mg 脂蛋白, 混匀, 过滤除菌(0.45 μm), 37 °C 避光孵育 8~12 h。用 NaCl 调密度至 1.1 kg/L, 超离(条件为: 4 °C~10 °C, 50 000 r/min, 2.5 h) 后, 吸取上层 VLDL, 经 PBS 透析 8~12 h, 用 0.45 μm 滤膜过滤除菌。测定溶液荧光强度和蛋白浓度, 计算标记率。

### 1.11 脂蛋白结合实验

瞬时表达 pCD-VR 的 CHO 细胞与 DiI 标记的 VLDL 结合实验于转染后 8~72 h 进行。结合实验前 48 h 加 25-羟胆固醇和胆固醇于细胞培养基中(终浓度分别为 1 mg/L 和 10 mg/L), 以抑制 LDL 受体表达。结合开始时, 弃细胞培养液, 用 PBS 加入冰中预冷的含 DiI 标记脂蛋白的结合反应液, 4 °C 孵育 3 h, 用含 0.2% 牛血清白蛋白的冰冷的 PBS 洗三次, 以去除未结合的 DiI 标记的脂蛋白。然后每皿(35 mm)加入 1 mL 细胞裂解液(1 g/L SDS、0.1 mol/L NaOH), 混匀, 此细胞裂解液可同时用于荧光强度和蛋白浓度的测定, 结果以 DiI 标记脂蛋白/细胞蛋白(mg/g), 即 DiI-VLDL/Cell protein(mg/g) 表示。

## 2 结果

### 2.1 总 RNA 的鉴定

总 RNA 经紫外分光光度计定量, OD<sub>260</sub>/OD<sub>280</sub>>1.9。RNA 经甲醛变性凝胶电泳后, 在紫外观测仪下可见清晰的 28 S、18 S、5.8 S 三条带, 表明 RNA 纯度和完整性较好, 可用于反转录反应。

## 2.2 反转录聚合酶链反应

从 pCD- VR 转染的 CHO 细胞中分离总 RNA 后, 经 RT- PCR 反应获得的产物经琼脂糖凝胶电泳, 在紫外灯下观察到一清晰条带, 与期望的 VLDLR cDNA 长度(2.9 kb)相符(图 1, Figure 1)。

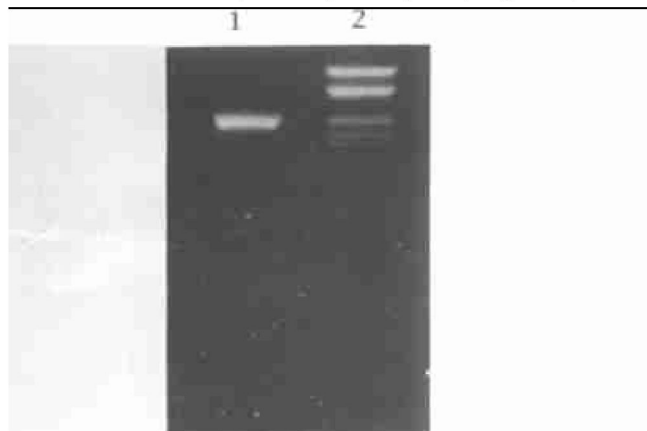


图 1 反转录聚合酶链反应扩增的极低密度脂蛋白受体 cDNA 片段的电泳图谱

**Figure 1 The gel electrophoresis photograph of the RT- PCR amplification of the VLDLR cDNA fragment.** 1: RT- PCR 扩增产物; 2: λDNA/Hind Ⅲ+ EcoR I。

## 2.3 重组体的酶切片段电泳鉴定

重组质粒用 Bam HI、Nhe I、Hind Ⅲ、Apa I 酶切鉴定, 电泳结果显示: 8.3 kb 阳性重组体(pCD- VR)被 Hind Ⅲ 切成 2 个片段, 长度分别为 5.53 kb 和 2.77 kb; 经 Nhe I、Bam HI 酶切后成为 8.4 kb 线性片段; 经 Apa I 酶切得 1.9 kb 和 6.5 kb 两片段。酶切产物电泳结果与预期相符(图 2, Figure 2)。

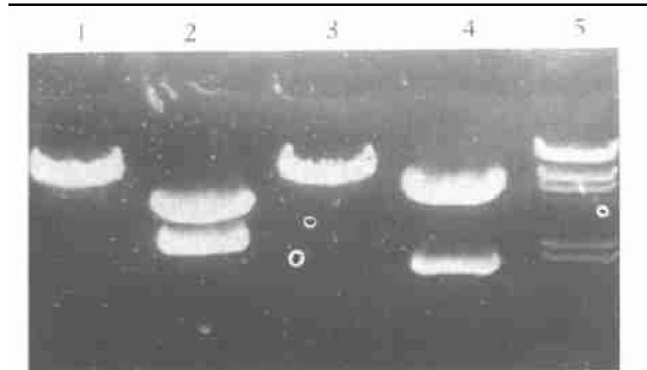


图 2 重组体酶切电泳图谱

**Figure 2 The gel electrophoresis photograph of the recombinant after digested.** 1: pCD- VR/Nhe I; 2: pCD- VR/Hind Ⅲ; 3: pCD- VR/Bam HI; 4: pCD- VR/Apa I; 5: λDNA/Hind Ⅲ+ EcoR I。

## 2.4 极低密度脂蛋白受体 cDNA 的序列分析

重组质粒 pCD- VR 测序结果发现, 与 Yamamoto 等报道的人 VLDLR cDNA 序列相比, 仅在胞内域中第 3 000 位 A 变为 G, 第 3 193 位 T 变为 C。故可认为, 从中国人心肌组织中克隆获得的 VLDLR cDNA 与文献报道相符。

## 2.5 极低密度脂蛋白受体基因的表达

从转染 pcDNA3、pCD- VR 的 CHO 细胞提取总 RNA, 经反转录 PCR 扩增, 同时以 β- actin 作为内参。扩增产物进行琼脂糖凝胶电泳, 两细胞均扩增出与 β- actin 基因相应的条带; 稳定转染 pCD- VR 的 CHO 细胞扩增出一 2.2 kb 的清晰条带, 其电泳迁移率与预期 VLDLR 片段长度相符(图 3, Figure 3)。提示外源性 VLDLR 基因在 CHO 细胞内得到了表达, 而转染 pcDNA3 的 CHO 细胞未扩增出 VLDLR cDNA 片段。

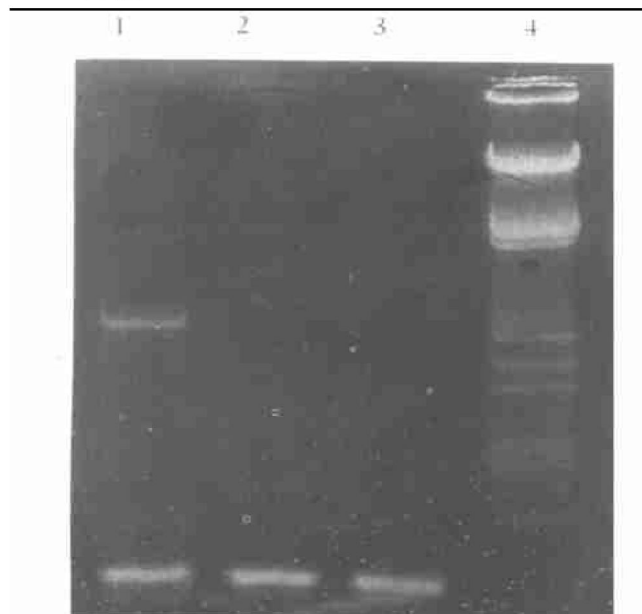


图 3 反转录聚合酶链反应产物的凝胶电泳图谱

**Figure 3 The gel electrophoresis photograph of the RT- PCR products.** 1: RT- PCR products of β- actin and VLDLR from CHO cells transfected with pCD- VR; 2: RT- PCR results of β- actin from CHO cells; 3: RT- PCR products of β- actin from CHO cells transfected with pcDNA3; 4: λDNA/EcoRI+ Hind Ⅲ。

## 2.6 Dil 标记的极低密度脂蛋白与基因转染后的中国仓鼠卵巢细胞结合后的荧光显微镜观察

转染 VLDLR 基因的 CHO 细胞与 Dil- VLDL 在 4 ℃下孵育 4 h 后, 荧光显微镜下观察发现, 细胞膜上结合有荧光标记的 VLDL(图 4, Figure 4)。

## 2.7 脂蛋白结合实验结果

当脂蛋白浓度(Dil- VLDL)为 10 mg/L 时, 转染全长 VLDLR 基因的 CHO 细胞结合脂蛋白能力( $24.36 \pm 2.07$ )高于转染空载体的 CHO 细胞( $19.84 \pm$

1.38), 差异有显著性( $P < 0.01$ ), 进一步证实人VLDLR基因可在CHO细胞中有效表达。

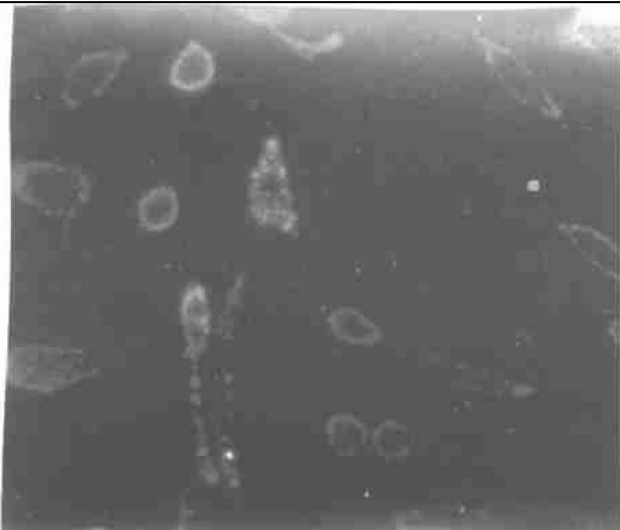


图4 荧光显微镜下中国仓鼠卵巢细胞结合 Dil 标记的极低密度脂蛋白结果

**Figure 4 The result of CHO cells combining with Dil- labeled – lipoprotein under fluorescence microscopy.**

### 3 讨论

脂蛋白代谢异常是动脉粥样硬化发病的重要因素。胆固醇升高已被确认为冠心病发病危险因子, 而甘油三酯及富含甘油三酯的脂蛋白, 如 VLDL 的致动脉粥样硬化作用日益受到重视。脂蛋白受体在血浆脂类的代谢中起关键作用。LDLR能够与含载脂蛋白B100及载脂蛋白E的脂蛋白结合, 如 LDL、VLDL。成熟LDLR由五个功能域组成: N-端含七个重复序列的配体结合域、表皮生长因子前体同源域、O-连接糖蛋白域、跨膜域及胞浆域。研究表明, VLDLR也由上述几个功能域组成, 结构与LDLR极为相近, 不同处在于VLDLR的N-端配体结合域比LDLR多一重复序列。VLDLR能够结合VLDL、 $\beta$ -VLDL及IDL, 但对LDL亲合力很低<sup>[5]</sup>。在LDLR分子上, 结合LDL需重复序列3~7, 结合 $\beta$ -VLDL需重复序列5<sup>[6,7]</sup>, 故推测VLDLR多出的重复序列可能影响其与脂蛋白的结合功能。

为探讨VLDLR结构与功能的关系, 本实验从中国人心肌组织提取总RNA, 利用RT-PCR技术, 克隆出了中国人VLDLR cDNA。测序结果表明, 这一

源于中国人心肌的VLDLR cDNA序列与文献报道基本一致。将此全长受体基因导入体外培养的CHO细胞后, 用RT-PCR扩增后出现一条2.2 kb的清晰条带, PCR反应中设计的人源性VLDLR基因特异引物的序列完全不同于鼠源性VLDLR的基因序列, 表明其在CHO细胞内可有效表达。脂蛋白结合实验证明, 该受体的全长基因的表达产物具有结合VLDL的功能。

我们拟在本文报道的结果基础之上, 将VLDL受体配体结合域一个或几个重复序列逐一缺失, 构建成缺失不同重复序列的VLDLR真核表达载体, 将其转入相应受体缺失细胞, 观察各种不同缺失表达载体转染细胞与脂蛋白结合功能, 从而阐明VLDLR各重复序列在结合脂蛋白过程中所起的作用, 为进一步了解VLDLR在动脉粥样硬化中所起作用提供新的认识。

### 参考文献

- [1] Mehta KD, Chen WJ, Goldstein JL, et al. The low density lipoprotein receptor in *Xenopus laevis*. I. Five domains that resemble the human receptor [J]. *J Biol Chem*, 1991, **266**: 10 406– 414
- [2] Yamamoto T, Davis CG, Brown MS, et al. The human LDL receptor: A cysteine- rich protein with multiple alu sequences in its mRNA [J]. *Cell*, 1984, **39**: 27– 38
- [3] Yamamoto T, Bishop RW, Brown MS, et al. Deletion in cysteine- rich region of LDL receptor impedes transport to cell surface in WHHL rabbit [J]. *Science*, 1986, **232**: 1 230– 237
- [4] Lee LY, Mohler WA, Schafer BL, et al. Nucleotide sequence of the rat low density lipoprotein receptor cDNA [J]. *Nucleic Acids Res*, 1989, **17**: 1 259– 260
- [5] Takahashi S, Kawarabayasi Y, Nakai T, et al. Rabbit very low density lipoprotein receptor: a low density lipoprotein receptor like protein with distinct ligand specificity [J]. *Proc Natl Acad Sci USA*, 1992, **89**: 9 252– 256
- [6] Esser V, Limbird LE, Brown MS, et al. Mutational analysis of the ligand binding domain of the low density lipoprotein receptor [J]. *Biol Chem*, 1988, **263**: 13 283– 290
- [7] Russell DW, Brown MS, Goldstein JL. Different combinations of cysteine- rich repeats mediate binding of low density lipoprotein receptor to two different proteins [J]. *J Biol Chem*, 1989, **264**: 21 682– 688

(此文 2000-01-13 收到, 2000-07-27 修回)

(此文编辑 文玉珊)